

معرفی حمله بدهبستان زمان-حافظه (TMTO) بر

توابع چکیده‌ساز

زهرا ذوالفقاری* و نصور باقری

دانشکده مهندسی برق، دانشگاه تربیت دبیر شهید رجایی، تهران، ایران

z.zolfaghari71@gmail.com

nbagheri@srttu.com

چکیده

در این مقاله به معرفی حمله TMTO و نحوه پیداکردن نزدیک-برخوردها در یک تابع چکیده‌ساز پرداخته شده است. با درنظرگرفتن محاسبات چکیده‌ساز، محاسبه یک حد پایین برای پیچیدگی الگوریتم‌های نزدیک - برخورد و ساخت یک الگوریتم مطابق با آن آسان است؛ با این حال، این الگوریتم نیاز به مقدار زیادی حافظه دارد و موجب استفاده از $2^{\frac{n}{2}}$ حافظه می‌شود. به تازگی، چند الگوریتم بدون نیاز به این مقدار حافظه ارائه شده‌اند. این الگوریتم‌ها نیاز به مقدار بیشتری از محاسبات چکیده‌ساز دارند؛ اما این حمله در واقعیت عملی‌تر است. این دسته از الگوریتم‌ها را به دو دسته اصلی می‌توان تقسیم کرد: گروهی مبتنی بر کوتاه‌سازی و گروهی دیگر مبتنی بر کدهای پوششی هستند. در این کار، بدهبستان زمان-حافظه برای الگوریتم‌های مبتنی بر کوتاه‌سازی در نظر گرفته شد. برای پیداکردن حمله اصلی، می‌توان فرض کرد مقداری از حافظه موجود است و نشان داد که با استفاده از این حافظه قابل توجه پیچیدگی را می‌توان کاهش داد؛ در مرحله بعد، با استفاده از برخوردهای متعدد براساس جدول هلمن، بهبود شناخته‌شده ترین بدهبستان زمان حافظه، برای K درخت ارائه شد. درنتیجه، منحنی بدهبستان جدید $N = k \cdot T^2 \cdot M^{\lg k - 1}$ بدست آورده شد، با درنظرگرفتن $k = 4$ منحنی بدهبستان به شکل $T^2 \cdot M = 4 \cdot N$ خواهد بود. در این مقاله، ابتدا روش‌های TMTO و سپس نحوه پیداکردن نزدیک-برخورد با استفاده از TMTO شرح داده می‌شود.

واژگان کلیدی: تابع چکیده‌ساز، نزدیک-برخورد، بدهبستان زمان-حافظه

۱- مقدمه

حمله پیش‌تصویر دوم^۳: زمانی که h و x داده شده است، بتوان $x' \neq x$ پیدا کرد که $h(x') = h(x)$.
یکی از مسائل متداول در رمزنگاری کلید خصوصی مسئله پیداکردن برخورد است. اغلب نه تنها در پیداکردن برخورد برای تابع چکیده‌ساز بلکه در مسائل دیگر رمزنگاری نیز مطرح است. طی چندین دهه، پیداکردن برخورد به طور گسترده مورد مطالعه قرار گرفته است. علاوه‌بر این مسئله و همراه با پیداکردن چندین برخورد متعدد، مسئله رایج بعدی تولد عمومی تعمیم یافته (GBP) است.
با توجه به مسئله تولد، یک حمله برخورد عمومی دارای پیچیدگی $2^{\frac{n}{2}}$ است؛ درحالی که حمله‌های پیش‌تصویر یا پیش‌تصویر دوم دارای پیچیدگی 2^n هستند؛ که نیازمندی‌های امنیتی یک تابع چکیده‌ساز n بیتی را تعریف

تابع چکیده‌ساز، از نخستین رمزنگاری‌های بنیادین مورد استفاده در بسیاری از ساختارها و پروتکل‌ها هستند. یک تابع چکیده‌ساز یک رشته بیت به طول دلخواه را به عنوان ورودی می‌گیرد و یک رشته بیت با طول ثابت n را در خروجی تولید می‌کند:

$$h: \{0,1\}^* \rightarrow \{0,1\}^n, \quad (1)$$

هنگامی که در زمینه رمزنگاری استفاده می‌شود، یک تابع چکیده‌ساز باید در برابر سه حمله اصلی مقاوم باشد:
حمله برخورد^۱: زمانی که h داده شده است، بتوان $x' \neq x$ پیدا کرد که $h(x') = h(x)$.
حمله پیش‌تصویر^۲: زمانی که h و y داده شده است، بتوان x پیدا کرد که $h(x) = y$.

¹ Collision attack
² Priage attack

* نویسنده عهده‌دار مکاتبات

رمزگاری بسیار مهم تلقی می‌شود؛ اما بیش از یک دهه پس از انتشار آن بهبود قابل توجهی در الگوریتم K-درخت و در دیگر الگوریتم های اختصاصی مشاهده نشده است؛ با این حال، پیشرفت‌های جزئی و اصلاحاتی منتشر شده. که یکی از مهم‌ترین آن‌ها الگوریتم K-درخت توسعه یافته است که توسط میندر و سینکلر [6] پیشنهاد شده است. این الگوریتم راه حلی را برای GBP زمانی که فهرست‌ها دارای اندازه‌های کوچک‌تر هستند، ارائه می‌کند.

از نمادهای زیر در این مقاله استفاده شده است:

N : اندازه خروجیتابع چکیده‌ساز
T : اندازه خروجی برش یافته

W : بیشینه فاصله برای نزدیک-برخوردها
M : اندازه حافظه

$w^{(n)}B_w$: اندازه یک توب همینگ به شعاع w

۲- مروری بر مطالعات مرتبط

در اینجا ابتدا به بحث در مورد حمله **TMT0** و سپس ترفندهای پیداکردن برخورد کامل پرداخته می‌شود. در ادامه نیز ترفندهای پیداکردن نزدیک-برخورد شرح داده می‌شوند.

۱-۲- الگوریتم‌های جستجوی جامع و TMT0

فرض کنید، مهاجم قصد رمز گشایی کردن پیام رمزگذاری شده m' دارد. هدف محاسبه m برای $f(m)=m'$ است که در آن f می‌تواند یک تابع چکیده ساز، رمز قالبی^۲ و یا یک رمز جریایی^۳ باشد. در یک کار مهاجم که همیشه می‌تواند انجام دهد انجام جستجوی جامع است: همه m های ممکن را امتحان کند و ببیند که آیا f درخواستی در m' نتیجه می‌دهد یا نه. رمزشکنی با استفاده از جستجوی جامع به زمان زیادی می‌تواند نیاز داشته باشد. برای یک سامانه رمزگاری با کلید n بیتی، به طور معمول $N = 2^n$ کلید ممکن وجود دارد. هنگامی که N به اندازه کافی بزرگ است، امتحان تمام احتمال‌ها غیرممکن می‌شود. با هوشمندسازی تا حد زیادی زمان صرف شده برای شکستن در حمله‌های مکرر را می‌توان کاهش داد. به عنوان مثال، نتایج رمزگذاری تمام کلیدهای ممکن N را از پیش می‌توان محاسبه و آن‌ها را در یک جدول به صورت جفت $\langle m, f(m) \rangle$ ذخیره کرد. این مرحله، بروز خط حمله نامیده می‌شود. زمانی که یک نفر بخواهد یک پیام

² Block cipher

³ Stream cipher

می‌کنند. به طور کلی، انتظار می‌رود که یک تابع چکیده‌ساز مانند یک تابع تصادفی رفتار کند. این شرط به طور واقعی نمی‌تواند به رسمیت شناخته شود؛ اما انتظار می‌رود هر خاصیتی که در تابع چکیده‌ساز موردنظر می‌توان نشان داد، در یک تابع تصادفی نیز باشد؛ به ویژه، انتظار می‌رود که پیداکردن دو پیام و درنتیجه چکیده آن‌ها با یک تفاوت کوچک سخت باشد. این ویژگی نزدیک-برخورد نامیده می‌شود و چندین حمله در این مورد پیشنهاد شده است [1],[2],[3].

انتخاب یک کران پایین برای پیچیدگی حمله‌های نزدیک-برخورد تاحدودی آسان است (دست‌کم $\frac{n}{\sqrt{B_w(n)}} 2^{n/2}$ ارزیابی تابع چکیده‌ساز نیاز دارد). با این حال تنها راه شناخته شده برای رسیدن به این حد پایین نیاز به مقدار زیادی حافظه و بیش از $2^{\frac{n}{2}}$ حافظه در دسترس دارد. برای حل این مشکل، لمبرگر^۱ و همکاران یک روش با حافظه کمتر مبتنی بر کدهای پوششی [4]، با یک پیچیدگی بین $2^{\frac{n}{2}}$ و $\frac{n}{\sqrt{B_{w/2}(n)}} 2^{n/2}$ پیشنهاد کردند. در این کار، مسئله پیداکردن نزدیک-برخورد با الگوریتمی که در عمل به طور مؤثر می‌تواند پیاده‌سازی شود، پیشنهاد شد. با توجه به ماشین مورد استفاده برای اجرای این نوع محاسبات بزرگ (خوشه‌ها، GPU ها و یا سخت‌افزار اختصاصی داده شده)، هدف الزاماً به دست‌آوردن یک الگوریتم با حافظه کمتر نیست؛ هدف تنها رسیدن به یک الگوریتم با مقدار عملی حافظه و مقدار عملی دسترسی به حافظه است. نتایج نشان می‌دهد که می‌توان به پیچیدگی کمتر از پیچیدگی الگوریتم حافظه-کم مبتنی بر کدهای پوششی دست یافت.

GBP به صورت زیر تعریف می‌شود: با فرض K فهرست از عناصر تصادفی، یک عنصر را در هر یک از فهرست‌ها انتخاب کنید، به طوری که تمام عناصر انتخاب شده به یک مقدار از پیش تعریف شده خلاصه شوند. واگنر [5] برای نخستین بار به بررسی GBP برای تمام مقادیر K به عنوان یک مسئله مستقل پرداخته است. ایشان یک الگوریتم برای حل GBP برای تمام مقادیر K پیشنهاد کرده است و کاربرد آن در طیف گسترده‌ای از برنامه‌های کاربردی اعم از امضای کور، برای چکیده‌سازی تدریجی، بررسی تساوی وزن کم و تحلیل رمز توابع مختلف چکیده‌ساز را نشان می‌دهد. اگرچه GBP برای بسیاری از مشکلات در

¹ Lamberger

۲-۲- نقاط متمایز^۲

بعدا، ریوست^۳ بهبودیافته روش هلمن را پیشنهاد کرد؛ که هدف آن کاهش تعداد دسترسی به حافظه و بنابراین سرعت‌بخشیدن جستجوی جامع است؛ در حالی که دسترسی به حافظه به طور معمول زمان بیشتری از محاسبات f_i را صرف می‌کند. در این روش، شرط خاتمه هر زنجیره، رسیدن به یک نقطه پایانی DP به عنوان نقطه‌ای خاص با خاصیت ویژه (مانند K بیت نخست صفر باشد) می‌شود. اگر نه تنها مقادیر خروجی تابع که دارای این خاصیت هستند، باید در لوح سخت حافظه مورد جستجو قرار بگیرد. باز دیگر، ماتریس^۴ محاسبه و یک تابع $f = h_i \circ f_i$ بر زنجیره‌های با طول متغیر تکرار می‌شود. نقاط پایانی دارای پیشوند K بیت صفر ذخیره می‌شوند [7].

$$\begin{aligned} x_0 &\rightarrow \dots \rightarrow f_i^p(x_0) = DP_0 \\ x_1 &\rightarrow \dots \rightarrow \dots \rightarrow f_i^q(x_1) = DP_1 \\ x_2 &\rightarrow \dots \rightarrow \dots \rightarrow f_i^r(x_2) = DP_2 \\ x_m &\rightarrow \dots \rightarrow f_i^*(x_m) = DP_m, \end{aligned} \quad (3)$$

از آنجا که ممکن است، مدت زمانی را (یا حتی برای همیشه در مرور چرخه‌ها) قبل از رسیدن به یک نقطه متمایز صرف شود، یک T_{MAX} ثابت به عنوان بیشینه طول زنجیره در نظر می‌گیرند. اگر یک زنجیره قبل از رسیدن به نقطه متمایز به T_{MAX} برسد، زنجیره‌ای بی استفاده است.

۲-۳- جداول رنگین‌کمان^۵

برای یک مدت طولانی، روش ریوست تنها بهبود حمله هلمن TMTD بوده است؛ تا اینکه سال ۲۰۰۳ بهبود جدید الگوریتم‌های اوکسلین^۶ با نام جداول رنگین‌کمان پیدا شد. یکی از نوادرش الگوریتم هلمن ایجاد برخورد در یک جدول با ادغام زنجیره‌ها بود. اوکسلین به جای درخواست مجدد به تابع رمزنگاری با اضافه کردن یک خروجی اصلاح شده به هر مرحله در زنجیره، این مشکل را بهبود داد. به این ترتیب، هر ستون f_i خود را اعمال می‌کند. در حال حاضر، با ادغام زنجیره‌ها یک برخورد ایجاد نمی‌شود، مگر اینکه برخورد در همان ستون اتفاق بیفتد. این موضوع باید از یک بخش بزرگی از ادغام زنجیره‌ای جلوگیری کند. در این روش، تنها یک ماتریس بزرگ $m \times t$ محاسبه شده است؛ پس لازم نیست

رمزشده را بشکند، در طول مرحله برخط تنها باید آن را در جدول برای پیدا کردن کلید جستجو کند؛ که کاری غیرمفید است و نیاز به مقدار زیادی از فضای حافظه و زمان طولانی برای ایجاد جدول‌ها دارد. برای حل این مشکل بدء بستان زمان-حافظه پیشنهاد شد، که در آن می‌توان سرعت یک الگوریتم را درازای هزینه حافظه بیشتر، افزایش داد و بالعکس.

هلمن^۱

در سال ۱۹۸۱، هلمن حمله TMTD احتمالی خود را معرفی کرد که، جستجوی جامع هر سامانه رمزنگاری با N کلید ممکن را پس از یک پیش‌محاسبه با کاهش پیچیدگی $N^{2/3}$ عملیات، ولی با صرف $N^{2/3}$ کلمه حافظه می‌تواند اجرا کند. این کار را با محاسبه ماتریس $t \times m$ به صورت نشان‌داده شده در زیر می‌توان انجام داد. این حمله متشکل است از m زنجیره تکرارشونده به طول t ، که در آن تنها لازم است، نقطه نخست و آخر هر زنجیره در یک جدول با جفت $\langle x, f_i^t(x) \rangle$ ذخیره شوند. با مطالعه مقاله هلمن، به طور معمول m و t به صورت $N^{1/2} \times t^2 = N$ انتخاب می‌شوند.

با این حال، ماتریس $t \times m$ از $N^{1/2} \times t^2$ تبعیت می‌کند که تنها $1/t$ ام از فضای جستجو را پوشش می‌دهد. به همین دلیل است که این ماتریس‌ها را محاسبه و هر کدام بخش‌های مختلفی از فضای جستجو را اشغال می‌کنند. هر کدام از این ماتریس‌ها از یک f_i متفاوت است، که در صورت $f_i = h_i \circ f$ تعریف شده h_i خروجی اصلاح شده و برای هر i متفاوت است). یک نمونه $h_i(x) = x \oplus i$ است. هدف استفاده از توابع مختلف f_i کاهش مقدار زنجیره‌های تکراری بین جدول‌ها است [7].

$$\begin{aligned} x_0 &\rightarrow f_i(x_0) \rightarrow f_i(f_i(x_0)) \rightarrow \dots \rightarrow f_i^t(x_0) \\ x_1 &\rightarrow f_i(x_1) \rightarrow f_i(f_i(x_1)) \rightarrow \dots \rightarrow f_i^t(x_1) \\ x_2 &\rightarrow f_i(x_2) \rightarrow f_i(f_i(x_2)) \rightarrow \dots \rightarrow f_i^t(x_2) \\ &\vdots && \vdots \\ x_m &\rightarrow f_i(x_m) \rightarrow f_i(f_i(x_m)) \rightarrow \dots \rightarrow f_i^t(x_m), \end{aligned} \quad (2)$$

در مرحله برخط مهاجم f_i را برای بیشینه زمان t بر روی متن رمزی که خودش داده است، تکرار و هر مرحله بررسی می‌کند، که نتیجه در جدول مشاهده می‌شود یا نه. اگر با $(x_j, f_i^t(x_j))$ منطبق باشد، مهاجم f_i را می‌تواند تکرار تا متن رمزشده خود را پیدا کند. به عبارتی، پیش‌تصویر متن رمزشده خود را نیز می‌تواند پیدا کند.

¹ Hellman

² Distinguished points

³ Rivest

⁴ Rainbow tables

⁵ Oechslin

دو فصل نامه علمی ترویجی منادی امثیت فضای تولید و تبادل اطلاعات (افتا)

صفر در $\bar{n} - n$ بیت پر ارزش خود هستند. برای \bar{n} بیت باقیمانده کم ارزش، آن‌ها الگوریتم K-درخت را اعمال و در نتیجه یک راه حل برای تمام n بیت پیدا کردند. پیچیدگی زمانی مجموع هزینه‌ها برای پیش‌محاسبه و حل الگوریتم K-درخت، $k \cdot (2^{n-\bar{n}} \cdot 2^m + 2^m) \approx k \cdot 2^{n-m \lg k}$ است.

بنابراین بدء‌بستان به صورت زیر تعریف می‌شود:

$$T \cdot M^{\lg k} = k \cdot N, \quad (5)$$

ایده دوم آنها مشابه ایده نخست است؛ اما از پیش‌محاسبه استفاده نمی‌کند. در این روش، الگوریتم K-درخت را بر $\bar{n} = m(\lg k + 1)$ بیت اعمال کردند، تا مقدار $\bar{n} - n$ بیت باقیمانده به طور احتمالی صفر شود. در کل $2^{n-\bar{n}}$ تکرار K-درخت وجود دارد؛ سپس پیچیدگی زمانی $T = k \cdot 2^m \cdot 2^{n-\bar{n}} = k \cdot 2^{n-m \lg k}$ می‌شود، که بدء‌بستان مشابه مورد قبلی فراهم می‌کند. یعنی،

$$T \cdot M^{\lg k} = k \cdot N, \quad (6)$$

ایده سوم مبتنی بر کاهش N ، اما روشی پیشرفته‌تر است. فرض کنید $f_1 = f_2, f_3 = f_4, \dots$ ، یعنی توابع $f_1, f_2, f_3, \dots, f_k$ مسئله K-فهرست به عنوان دو $\frac{k}{2}$ دویه‌دو یکسان باشند. مسئله K-فهرست به عنوان دو $\frac{k}{2}$ مسئله جداگانه در نظر گرفته می‌شود، ابتدا شامل توابع $f_1, f_2, f_3, \dots, f_k$ در حالی که دومین مسئله \dots, f_2, f_4, \dots (اگر مقدار حافظه در دسترس 2^m باشد) است؛ سپس امکان حل هر یک از این $\frac{k}{2}$ فهرست مسئله تا $\bar{n} = m(\lg k + 1) = m \cdot \lg k$ دارد. با بالا بردن دو $\frac{k}{2}$ فهرست به K-فهرست، $\bar{n} - n$ بیت باقیمانده با استفاده از الگوریتم جستجوی برخورد حافظه، می‌توانند صفر باشند. بنابراین پیچیدگی زمان $T = \frac{k}{2} \cdot 2^{\frac{n-\bar{n}}{2}} \cdot 2^m = \frac{k}{2} \cdot 2^{\frac{n}{2} - m(\lg k + 1)}$ است و منحنی بدء‌بستان به صورت زیر تعریف می‌شود:

$$T \cdot M^{\frac{\lg k}{2}-1} = \frac{k}{2} \cdot N^{\frac{1}{2}}, \quad (7)$$

که تبدیل شده است به:

$$T^2 \cdot M^{\lg k-2} = \frac{k^2}{4} \cdot N, \quad (8)$$

از آنجا که این روش مسئله $\frac{k}{2}$ فهرست را حل می‌کند، برای حالت $K > 4$ قابل اعمال است. همچنان در حالتی که $M < 2^{\frac{n}{\lg k+2}}$ باشد، (۸) بدء‌بستان بهتری را نسبت به $M > 2^{\frac{n}{\lg k+2}}$ (۵) فراهم می‌کند.

ماتریس‌های متفاوت محاسبه شوند. تنها نقاط نخست و آخر هر زنجیره ذخیره می‌شوند [۷].

$$\begin{aligned} x_0 &\rightarrow f_0(x_0) \rightarrow f_1(f_0(x_0)) \rightarrow \dots \rightarrow \\ f_t(f_{t-1}(\dots f_0(x_0)\dots)) & \\ x_1 &\rightarrow f_0(x_1) \rightarrow f_1(f_0(x_1)) \rightarrow \dots \rightarrow \\ f_t(f_{t-1}(\dots f_0(x_1)\dots)) & \\ x_2 &\rightarrow f_0(x_2) \rightarrow f_1(f_0(x_2)) \rightarrow \dots \rightarrow \\ f_t(f_{t-1}(\dots f_0(x_2)\dots)) & \\ \vdots &\vdots \\ x_m &\rightarrow f_0(x_m) \rightarrow f_1(f_0(x_m)) \rightarrow \dots \rightarrow \\ f_t(f_{t-1}(\dots f_0(x_m)\dots)), & \end{aligned} \quad (4)$$

۳- بهبود بدء‌بستان زمان-حافظه

در برنامه‌های کاربردی، به طور معمول عناصر فهرست L_i خروجی توابع f_i می‌باشند؛ در نتیجه GBP اغلب به صورت زیر فرموله می‌شود:

مسئله ۱. با توجه به تابع غیر معکوس $y_1, \dots, y_k \in \{0,1\}^{n'} \rightarrow \{0,1\}^n, n' \geq n$ $f_1(y_1) \oplus f_2(y_2) \oplus \dots \oplus f_k(y_k) = \{0,1\}^{n'}$

.۰

در برخی از برنامه‌های کاربردی، تمام توابع یکسان هستند و مشکل پیدا کردن ورودی مستقل است؛ مسئله ۲. با توجه به تابع غیر معکوس $f: \{0,1\}^{n'} \rightarrow \{0,1\}^n, n' \geq n$ $y_1, \dots, y_k \in \{0,1\}^n, n' \geq n$ پیدا کنید $f_1(y_1) \oplus f_2(y_2) \oplus \dots \oplus f_k(y_k) = 0$ به گونه‌ای که هر دو مسئله بالا باعث افزایش احتمال بدء‌بستان زمان حافظه می‌شوند (یعنی کاهش پیچیدگی حافظه الگوریتم K-درخت به ازای هزینه زمان)؛ بنابراین بدء‌بستان زمان حافظه برای GBP بررسی خواهد شد که در مسئله ۲ تعريف شده است. توجه داشته باشید که K-درخت به صورتی فرض می‌شود که هر دو زمان و حافظه اندازه‌های یکسان دارد؛ به عنوان مثال $T = M = O(k \cdot 2^{\frac{n}{\lg k+1}})$ برنشتاین و همکاران [۸] الگوریتم K-درخت را در محیط‌های حافظه محدود و پیشنهاد چند بدء‌بستان بررسی کردند. رویکرد اصلی آنها برای حل این مشکل، استفاده K-فهرست در کمتر از n بیت است. فرض کنید $M=2^m$ ، که

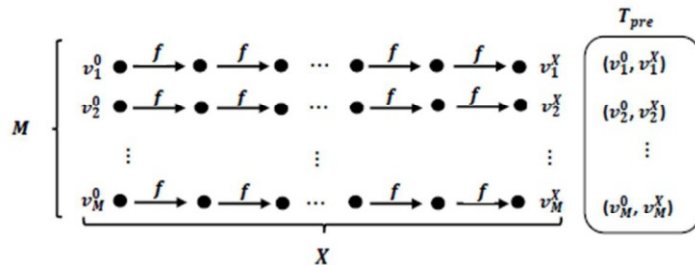
$\bar{n} < M < 2^{\frac{n}{\lg k+1}}$ است؛ سپس، مشکل K-فهرست (\bar{n}) بیت $(\lg k + 1)$ (به جای n بیت) را به راحتی با استفاده از الگوریتم K-درخت می‌توان حل کرد. نخستین ایده بدء‌بستان انجام یک پیش‌محاسبه (یا prefiltration) است؛ به صورتی که تمام نوشه‌های در هر فهرست، دارای مقدار

$M=2^m$ مقدار حافظه در دسترس است. هنگامی که پیش‌محاسبه با ارزیابی MX از f انجام شود، هزینه تولید برخورد جدید برای f , $\frac{N}{MX}$ به ازای هر برخورد است. این روش به شرح زیر کار می‌کند:

انتخاب M مقدار متمایز $v_i^0 \in \{0,1\}^n$, که $i=1,2,\dots,M$. که برای هر یک از آن‌ها زنجیره‌ای با طول X با تابع هدف f محاسبه می‌شود، یعنی محاسبه $f(v_i^j)^{-1} \leftarrow v_i^j$ برای $X, j=1,\dots,M, i=1,\dots,M$. ساختار T_{pre} در شکل (۱) نشان داده شده است.

الگوریتم K-درخت، بر روی تولید برخوردهای متعدد متکی است. به عنوان مثال، در سطح نخست از چهار درخت، $\frac{n}{2^3}$ برخورد جفت‌ها بر روی $\frac{n}{3}$ بیت تولید می‌شود. تولید این جفت‌ها زمانی که مقدار حافظه در دسترس $2^{\frac{n}{3}}$ باشد، بی‌اهمیت است. با این حال، هنگامی که حافظه به $\frac{n}{3} < 2^m, m$ کاهش یابد، پیداکردن برخورد ناچیز، عملی نیست. الگوریتم K-درخت نیاز به برخوردهای متعدد دارد و بر اساس جدول هلمن راه حل‌ها را ارائه می‌کند.

واقعیت ۱ (جدول هلمن) اگر $f: \{0,1\}^n \rightarrow \{0,1\}^n$ یک ورودی دلخواه و تابع خروجی $N=2^n$ بیتی باشد،



شکل (۱): جدول هلمن به T_{pre} هنگامی که حافظه در دسترس M باشد [۹].

معمولی و $2^{\frac{n}{3}}$ مقدار پیدا کردند. هنگامی که آن‌ها برخورد متعدد معمولی تولید کردند، جدول هلمن نقش مهمی برای حفظ M حافظه به جای MX داشت. علاوه بر این، از جدول هلمن برای تولید برخوردهای متعدد برای نخستین سطح K-درخت، اما تنها در L بیت خاص (که در آن $n < L$) استفاده کردند.

۳-۱- بهبود بدءبستان زمان-حافظه برای مسئله K-فهرست

در این بخش، بدءبستان زمان-حافظه را برای الگوریتم K-درخت ($K=2D$)، تعمیم‌داده شده معرفی می‌شود. به طور کلی، تولید برخورد در سطح ۱ الگوریتم K-درخت را با یک تولید براساس جدول هلمن جایگزین کردند. درنهایت بیت‌هایی را که حاصل جمع آن‌ها بیت‌های ذخیره شده ثابت صفر است، فراخوانی می‌کنند.

الگوریتم K-درخت معمولی در ابتدا از 2^d فهرست حاوی عناصر $M = 2^m$ شروع می‌شود. در سطح یک، 2^{d-1} فهرست حاوی M عنصر با m بیت ذخیره شده تولید می‌شوند. در سطح i برای فهرست‌های $-i = 2, 3, \dots, d$ ، $1, 2^{d-i}$ حاوی M عنصر با im بیت ذخیره شده تولید می‌شوند. در آخرین سطح D دو فهرست حاوی M عنصر با

توجه داشته باشید، حتی اگر مقادیر MX در تمام زنجیره‌ها وجود داشته باشد، فقط مقادیر $2M$ در T_{pre} ذخیره می‌شوند. هنگامی که T_{pre} ساخته شود، برای تولید یک برخورد، با یک نقطه تصادفی شروع کرده و یک زنجیره‌ای به طول $\frac{N}{MX}$ ساخته می‌شود. همان‌طور که N مقدار ممکن وجود دارد و MX مقدار در T_{pre} هستند، یک نقطه از زنجیره‌ای جدید با یک نقطه از زنجیره ایجاد شده در ساختار جدول برخورد خواهد داشت. این تطابق را با گسترش بیشتر زنجیره‌ای جدید تا بیشینه X مرتباً می‌توان شناسایی کرد، تا درنهایت به یکی از 7^X ذخیره شده در T_{pre} رسید؛ سپس مقادیر دقیق برخورد را با محاسبه مجدد زنجیره‌ها از v_i^0 و مقدار شروع زنجیره جدید می‌توان شناسایی کرد. بدیهی است از T_{pre} دوباره برای پیداکردن نه تنها یک برخورد، بلکه برخوردهای متعدد می‌توان استفاده کرد.

ژو^۱ و لوكس^۲ از این روش برای پیداکردن سه برخورد استفاده کردند. آن‌ها $M = X = 2^{\frac{n}{3}}$ را برای $M = 2^{\frac{n}{3}}$ تولید ۲ برخورد معمولی با زمان $2^{\frac{2n}{3}}$ و حافظه $2^{\frac{n}{3}}$ تنظیم و سپس، برخورد دیگری را بین $2^{\frac{n}{3}}$ برخورد

¹ Joux

² Lucks

هزینه $\frac{N^l}{MX}$ در هر برخورد (که معادل $\frac{N}{M^{d+l}X}$ است) می‌توان پیدا کرد. در سطح یک، در کل $(M \cdot 2^{d+l})$ برخورد l بیتی تولید و آنها را در 2^{d-l} فهرست هر کدام با M عنصر ذخیره کردند. در کل هزینه برای تولید برخوردهای نسبی و سپس پیچیدگی سطح یک $\frac{N}{M^{d+l}}$. است.

۲-۳-۲- ارزیابی پیچیدگی

پیچیدگی برای تولید T_{pre} ، زمان MX و M حافظه است. همان‌طور که در بالا ذکر شد، سطح یک نیاز به $\frac{N}{M^{d+l}}$ زمان و $2^{d-l} \cdot M$ حافظه دارد. زمان و حافظه پیچیدگی‌های سطوح باقی‌مانده دو به همه M هستند، در نتیجه در مقایسه با تولید T_{pre} ناچیز هستند. پیچیدگی زمانی $T = MX^2 = 2^{d-l} \cdot \frac{N}{M^{d+l}}$ است، که به $\frac{N}{M^{d+l}} MX = 2^{d-l}$ متعادل شده تولید جدول هلمن و سطح یک رابطه $(MX)^2 = 2^{d-l} \cdot \frac{N}{M^{d+l}}$ می‌تواند کاهش یابد. در جدول ۴، مبادله‌های قبلی ارائه شده در (۵)، (۸) با این مبادله جدید برای $K=4$ و برای دو مقدار حافظه خاص مقایسه شده‌اند. بدیهی است، پیچیدگی زمانی الگوریتم جدید برای همان مقدار حافظه موجود به‌طور قابل توجهی کوچک‌تر است [۹].

۴- پیداکردن برخوردهای کامل

روش اساسی پیداکردن برخوردها یا نزدیک‌برخوردها در روش عمومی، محاسبه تابع چکیده‌ساز به تعداد زیاد با ورودی تصادفی است. بعد از i محاسبه تابع چکیده‌ساز، می‌توان $2/(i-1)$ جفت را آزمایش کرد و این اثر تولد، اجازه پیداکردن برخوردها را تنها با $O(2^{n/2})$ محاسبه تابع چکیده‌ساز می‌دهد. به‌طور دقیق‌تر، تعداد محاسبه موردنیاز $\sqrt{\pi/2} \cdot 2^{n/2}$ است.

(جدول-۲): مقایسه معادله‌ها. برای سادگی، ضریب ثابت برای N نادیده گرفته شده است [۹].

روش	M	T	پارامترهای دیگر
$K=4$	برنشتین و همکاران (۱) $(T \cdot M^2 = N)$	$\frac{n}{2^4}$	$2^{\frac{n}{2}}$
		$\frac{n}{2^6}$	$2^{\frac{2n}{3}}$
الگوریتم پیشنهادشده	$\frac{n}{2^4}$	$2^{\frac{3n}{8}}$	$X=2^{\frac{n}{8}}$, $I=\frac{n}{2}$

(d-1)m بیت ذخیره‌شده وجود دارد؛ طوری که هیچ برخورد دیگر M مورد نیاز نیست، و تنها یکبار، در مجموع تا $(d-1)m$ بیت می‌توانند صفر باشند. با تنظیم $(d-1)m=n$ و درنتیجه الگوریتم K -درخت را حل برای مسئله K -فهرست را پیدا کردند. با این حال اگر اندازه حافظه محدود باشد (به عنوان مثال $\frac{n}{d+1} \ll m$) الگوریتم K -درخت تنها قسمتی از $(d-1)m$ بیت را به صفر می‌تواند اعمال کند. این الگوریتم جایگزینی سطح یک با تولید برخورد جدول هلمن و همان روش الگوریتم K -درخت از سطح دو به سطح D را انجام می‌دهد. برای پیداکردن راه حل موردنیاز پس از رسیدن به سطح D ، در سطح یک ارجاع به بیت بیشتر است. اجازه دهید تعداد بیت‌های متصل در سطح یک، $L = 2^m$ باشد. پس از سطح نخست 2^{d-1} لیست، هر کدام $M = 2^m$ عنصر دارند. به‌طور مشابه، بعد از رسیدن به سطح L باز $i=1, 2, 3, \dots, d-1, 2^{d-i}$ بیت ذخیره‌شده وجود دارد. پس از رسیدن به سطح L ، یک عنصر با $L + DM$ بیت صفر خواهد داشت؛ بنابراین $N = L + DM$ (به عنوان مثال $i=n-dm$) را برای به‌دست آوردن دست‌کم یک راه حل در همه n بیت تنظیم کردند. در جدول (۱)، تعداد بیت‌های ذخیره‌شده از K -درخت و الگوریتم ارائه شده مقایسه شده‌اند.

(جدول-۱): مقایسه تعداد بیت‌های محصور بین K -درخت و الگوریتم ارائه شده [۹].

# لیست‌ها	#	بیت‌های محصور
	-K	الگوریتم ارائه شده
سطح 1	m	l
2^{d-1}		
سطح i $(=2, \dots, d-1)$	im	$l + (i-1)m$
سطح d	$(d+1)m$	$l + dm$

از وضعیت $i=n-dm$ و پارامترهای K و M عملکرد کاهش f_1 را برای جدول هلمن می‌توان تعیین کرد. M زنجیره به‌طول X را ایجاد و تنها مقادیر نخست و آخر از هر زنجیر را در جدول هلمن موسوم به T_{pre} ذخیره کردند. هنگامی که T_{pre} ساخته شد، یک برخورد جزئی i بیتی را با

تشخیص داد. (این روش‌ها اغلب توسط حافظه مورد نیاز متفاوت در $O(\cdot)$: بین ۱ و ۳ است). در این کار بر روش تمایز نقطه، به دلیل آن که به طور مؤثر می‌تواند موازی شود و همچنین بر روی مسائل با پیچیدگی تاحدوی بزرگ تمرکز شده است. پیچیدگی پیدا کردن برخورد با استفاده از تمایز نقطه در جزئیات توسط ون اورشات^۵ [15] مورد تجزیه و تحلیل قرار گرفت. گام اصلی الگوریتم محاسبه زنجیره‌ای از تکرار، با شروع از یک نقطه تصادفی و توقف زمانی که به یک نقطه متمایز با ویژگی‌های قابل شناخت رسیده است (مانند تعداد صفرهای مقدم است). در این الگوریتم از یک جدول برای ذخیره M زنجیره (به عنوان مثال نقاط شروع و پایان) استفاده می‌شود و هنگامی که نقطه پایان دو مرتبه دیده شود، به احتمال زیاد یک برخورد به دست آمده است. تجزیه و تحلیل ون اورشات دو شرایط مختلف را (بسته به i تعداد برخوردهای مورد انتظار) در نظر می‌گیرد. یک پارامتر مهم در تجزیه و تحلیل نسبت نقطه مشخص شده θ است.

۴-۲- پیداکردن تعداد کمی از برخورد به عنوان مثال M ؟

اگر به اندازه کافی حافظه برای ذخیره تمام زنجیره‌ها موجود باشد، پیدا کردن i برخورد پس از یک حجم کار از $\Theta(\sqrt{2^n}i)$ را (از آنجایی که $(\sqrt{2^n})^i$ جفت نقاط را پوشش می‌دهد) می‌توان انتظار داشت. به طور دقیق‌تر، پیچیدگی داده شده توسط ون اورشات $C_{small} = \sqrt{\pi/2} \cdot \sqrt{2^n}i / (2 \cdot 2.5i)$ است.

ویژگی‌های تمایز انتخاب شده است؛ پس در نهایت تمام حافظه استفاده خواهد شد؛ اما سعی بر جلوگیری از دوباره نوشتمن چرخه‌ها است، پس از $\theta = M/C_{small}$ استفاده می‌شود. که $C_{small} = \sqrt{\pi/2} \cdot \sqrt{2^n}i / (1 - 2.5i/M)$ را نتیجه می‌دهد. اگر $M \ll i$ باشد، C_{small} به صورت زیر می‌شود:

$$C_{small} = \sqrt{\pi/2} \cdot \sqrt{2^n}i, \quad (9)$$

یک عامل تسریع از \sqrt{i} نسبت به پیداکردن i برخورد به طور مستقل وجود دارد.

$K=8$	$(T.M^2 = N)$	$\frac{n}{2^6}$	$\frac{5n}{2^{12}}$	$X=2^{\frac{n}{4}}, I=\frac{2n}{3}$
$(T.M^3 = N)$	برنشتین و همکاران (۱)	$\frac{n}{2^5}$	$\frac{2n}{5}$	-
	برنشتین و همکاران (۲)	$\frac{n}{2^6}$	$\frac{n}{2^2}$	-
	$(T^2.M = N)$	$\frac{n}{2^5}$	$\frac{2n}{5}$	-
$(T^2.M^2 = N)$	الگوریتم پیشنهادشده	$\frac{n}{2^5}$	$\frac{3n}{2^{10}}$	$X=2^{\frac{n}{10}}, I=\frac{2n}{5}$
		$\frac{n}{2^6}$	$\frac{n}{2^3}$	$X=2^{\frac{n}{6}}, I=\frac{n}{2}$

هنگام جستجو برای برخوردهای کامل، به جای مقایسه هر خروجی جدید با همه خروجی‌های پیشین آن (که نیاز به $O(2^{2n})$ مقایسه دارد)، یک فهرست از تمام خروجی‌ها می‌توان تهیه و فهرست در زمان $O(n2^n)$ را دسته‌بندی و یا از یک جدول چکیده برای کاهش تعداد مقایسه‌ها به $O(2^n)$ استفاده کرد [10].

۴-۳- الگوریتم‌های کم حافظه^۱

حتی اگر از پیچیدگی محاسبه صرف‌نظر شود، پیچیدگی حافظه این روش ساده، آن را غیرعملی خواهد کرد. چندین کار نشان دادند که برخوردها می‌توانند با حافظه کم یا هیچ حافظه‌ای، با افزایش کوچک در پیچیدگی زمان پیدا شوند. ایده اصلی توسط پولارد^۲ با عنوان الگوریتم RHO برای فاکتورگیری و الگوریتم گسسته معرفی و بعد به جستجوی برخورد تعیین داده شد.تابع چکیده‌ساز ابتدا از $\{0,1\}^n$ به $\{0,1\}^n$ محدود می‌شود، به طوری که آن را می‌توان تکرار کرد. پس از چند مرحله، زنجیره‌ای از تکرار به یک چرخه رسیده و نموداری به شکل حرف ρ یونانی خواهد داشت. به طور متوسط، حلقه دارای طول $O(2^{n/2})$ و پس از $O(2^{n/2})$ مرحله به دست آمده است. نقطه‌ای که ρ با چرخه ملاقات می‌کند، برخوردي در تابع چکیده‌ساز است. آن را در زمان $O(2^{n/2})$ با حافظه کم و یا هیچ حافظه‌ای با استفاده از روش‌های مختلف تشخیص چرخه، مانند الگوریتم فلوبید^۳ [11]، الگوریتم برنت^۴ [12]، با استفاده از تمایز نقاط [13] یا چند مرحله دیگر [14] می‌توان

¹ Memory-less algorithms

² Pollard

³ Floyd's algorithm

⁴ Brent's algorithm

$$B_w(n) = B_w(n-1) + B_{w-1}(n-1), \quad (13)$$

قضیه ۱. نامساوی زیر نیز صدق می‌کند:

$$B_{w-1}(x) \leq \binom{x}{w} \frac{w}{x-2w+1}, \quad (14)$$

اثبات.

$$\begin{aligned} \frac{B_{w-1}(x)}{\binom{x}{w}} &= \\ &= \frac{\binom{x}{w-1} + \binom{x}{w-2} + \binom{x}{w-3} + \dots}{\binom{x}{w}} \\ &= \frac{w}{x-w+1} + \frac{w(w-1)}{(x-w+1)(x-w+2)} + \dots \\ &\leq \frac{w}{x-w+1} + \left(\frac{w}{2-w+1}\right)^2 + \dots \\ &\leq \frac{\frac{w}{x-w+1}}{1-\frac{w}{x-w+1}} = \frac{w}{x-2w+1}, \end{aligned} \quad (15)$$

(با استفاده از مجموع سری هندسی)

۱-۵-۱- الگوریتم حافظه-کامل^۱

در این الگوریتم تعداد محاسبات موردنیاز برای پیداکردن یک نزدیکبرخورد $i = \sqrt{\pi/2 \cdot 2^n / B_w(n)}$ است. همچنین حد پایین تعداد ارزیابی چکیده موردنیاز برای هر الگوریتم نزدیکبرخورد دست کم $\sqrt{\pi/2 \cdot 2^n / B_w(n)}$ محاسبه جهت دستیابی به w نزدیکبرخورد با احتمال ناچیز است.

با این حال، این روش ساده نیاز به $B_w(n)$ $\Omega(\sqrt{2^n \cdot B_w(n)})$ حافظه قابل دسترس به جدول به اندازه $i = \sqrt{2^n \cdot B_w(n)}$ دارد. در مقابل حمله برخورد پیچیدگی را با استفاده از الگوریتم مرتب‌سازی، جدول چکیده و یا زنجیره تکرار نمی‌توان کاهش داد. درواقع در هر اجرای عملی ضعف حساب می‌شود [10].

۱-۵-۲- استفاده از برخورد در یک تابع چکیده

بریده شده

یک روش ساده، پیداکردن برخوردها در نسخه بریده شده تابع چکیده‌ساز است. در راحت‌ترین روش، تابع چکیده‌ساز به $t=n-w$ بریده می‌شود و هر برخورد در نسخه بریده شده w نزدیکبرخورد را برای تابع چکیده‌ساز کامل ایجاد می‌کند. جالب توجه است، زمانی که تابع چکیده‌ساز به

۴-۳- پیداکردن تعداد زیادی از برخوردها

به عنوان مثال M^i

در این مورد، حافظه باید بازنویسی شود. آزمایش‌ها [15] نشان می‌دهند زمانی که حافظه پر است، پیچیدگی هر برخورد به طور تقریبی $M^{2^n \theta} / M + 2^{n \theta}$ است. این پیچیدگی به کمینه $\sqrt{2M/2^n \theta} = \sqrt{8 \cdot 2^n / M}$ برای دقیق‌تر، ون اورشات آزمایش‌هایی برای تعیین ثابت‌های حقیقی انجام داده و پیچیدگی زیر حاصل شده است:

$$C = 5\sqrt{2^n/M} \cdot i, \quad (10)$$

هنگامی که $= 2.25\sqrt{M/2^n \theta}$ است. یک عامل تسريع از $\sqrt{M} / 4$ نسبت به پیداکردن i برخورد به طور مستقل وجود دارد.

حد جهانی. به طور کلی، یک کران بالا پیچیدگی که در هر دو شرایط کار می‌کند، با جمع دو عبارت می‌توان بیان کرد:

$$C \leq (\sqrt{\frac{\pi}{2}} + 5\sqrt{\frac{i}{M}})\sqrt{2^n i}. \quad (11)$$

هنگامی که M^i یا M^i ، یک دوره ناچیز است، این عبارت به ترتیب معادل C_{small} یا C_{large} است. علاوه‌براین، به طور تجربی تأیید کردن، زمانی که $i \approx M$ این عبارت حد بالا و تاحدودی باریک است. در همه موارد یک افزایش سرعت خطی وقتی که از چند ماشین بهموزات استفاده می‌شود، وجود دارد [10].

۵- نزدیکبرخوردها

w نزدیکبرخورد یک جفت پیام x و x' ، به صورت $h(x) \oplus h(x')$ است، که در آن $\|h(x) - h(x')\| \leq w$ همینگ است. ابتدا

برخی از نتایج در ارتباط با فاصله همینگ معرفی می‌شود.

تعريف ۱. اندازه یک توب همینگ به شاعع w توسط $\{x \in \{0,1\}^n : \|x\| \leq wB_w\}$ نشان می‌دهند.

ویژگی ۱. وجود دارد $(B_w)_i = \sum_{t=0}^w \binom{n}{t}$. ویژگی ۲. احتمال این که یک جفت x و x' تصادفی در w نزدیکبرخورد نتیجه دهد برابر است با:

$$B_w(n)/2^n, \quad (12)$$

ویژگی ۳. رابطه زیر برقرار است:

^۱ Memory-full algorithm

مقداری حافظه می‌تواند به طور قابل توجهی توسط $M\sqrt{i}$ در صورتی که $i \ll M$ یا $M \ll i$ و (همان‌طور که در بخش ۴ شرح داده شد) باشد، کاهش یابد. در ادامه، ایده موردنظر و مطالعه مقدار بهینه τ و پیچیدگی حمله، بسته به میزان حافظه در دسترس شرح داده می‌شود. در پیاده‌سازی عملی یک حمله نزدیک‌برخورد فرض می‌شود که مقداری از حافظه در دسترس است، که به طور قابل توجهی منجر به حمله‌های بهتر می‌تواند شود.

۱-۶- پیچیدگی

مطابق با شکل (۳) τ بیت از تابع چکیده‌ساز را برش داده و برای برخورد در $\tau - n$ بیت باقی‌مانده جستجو می‌کنند. برای هر برخورد $\tau - n$ بیتی، فاصله همینگ در τ بیت برش یافته محاسبه می‌شود. در نتیجه پیداکردن یک w نزدیک‌برخورد پس از آزمایش $B_w(\tau) = 2^{\tau} \cdot B_w$ برخورد امکان‌پذیر است.

مشاهده می‌شود که $(\tau)_i$ به طور یکنواخت با توجه به $B_w(\tau-1) + B_w(\tau-2) < 2B_w(\tau-1)B_w$ افزایش می‌یابد. با τ کوچک، تنها نیاز به تعداد کمی از برخورد است؛ اما n -پیداکردن برخوردها به دلیل تعداد زیاد بیت برش نیافته τ ، یک ارزیابی دقیق از پیچیدگی الگوریتم، بسته به مقادیر n و M است، که از تجزیه و تحلیل ون اورشات [15] (که در بخش ۴ یادآوری شد) استفاده شده است.

$n - 2w - 1$ بیت کوتاه شود، یک برخورد τ بیتی، یک w نزدیک‌برخورد تابع چکیده‌ساز کامل با احتمال $1/2$ را ایجاد خواهد کرد. این یک الگوریتم نزدیک‌برخورد با پیچیدگی موردنظر $\sqrt{\pi/2}^{(n-2w)/2}$ با استفاده از مقدار کمی حافظه برای نقاط متمایز است. که به صورت گرافیکی شکل (۲) آن را می‌توان نشان داد.

به طور کلی، τ بیت را می‌توان برش داد؛ برخورد در یک تابع $\tau - n$ بیتی را پیدا و وزن همینگ τ بیت کوتاه‌شده را بررسی کرد و درنهایت w نزدیک‌برخورد را با احتمال $B_w(\tau)/2^{\tau}$ بدست آورد. مقدار بهینه τ را نیز با ارزیابی پیچیدگی برای تمام گزینه‌های τ می‌توان پیدا کرد.

۶- بدءبستان زمان-حافظه با روش کوتاه‌سازی

نخستین الگوریتم تعمیم ساده روش مبتنی بر کوتاه‌سازی در بخش ۵ است. مشاهده شد که اگر τ بیت با $1 > 2w - \tau$ برش داده شود، احتمال این که یک برخورد در تابع کوتاه‌شده یک نزدیک‌برخورد در تابع چکیده‌ساز کامل باشد، به سرعت کاهش می‌یابد و نیاز به پیداکردن برخوردهای بسیاری دارد. در یک رویکرد حقیقی حافظه کمتر، پیداکردن n چنین برخورد نیاز به $\sqrt{2^{n-\tau} \cdot 1/\sqrt{\pi/2}}$. محاسبات دارد و برای به دست آوردن توسط روش برش دادن بیش از $1 - 2w$ بیت، کمتر وجود دارد. با این حال، با



(شکل-۲): شکل گرافیکی یک الگوریتم پیداکردن نزدیک-برخورد [10].



(شکل-۳): شکل گرافیکی الگوریتم پیداکردن نزدیک-برخورد با استفاده از حافظه کم [10].

بسته به رابطه بین i و M در نظر گرفته شد.

با درنظر گرفتن تعداد کمی از بیت برش یافته و برخورد $M \ll B_w(\tau) = 2^{\tau}$ پیچیدگی زیر به دست می‌آید:

۶-۲- پیداکردن پارامترهای بهینه

در جهت پیداکردن خصوصیات جبری τ بهینه، تجزیه و تحلیل بخش ۴ را دنبال کرده و دو مورد برای پیچیدگی،

برای این اندازه τ , پیچیدگی به صورت زیر است:

$$C \approx 2^{n/2} / \sqrt{B_w(\tau)}, \quad (20)$$

که این پیچیدگی بیشتر از پیچیدگی بهینه به دست آمده توسط الگوریتم حافظه کامل $2^{n/2} / \sqrt{B_w(n)}$ است؛ اما برای بیشتر پارامترها از حد $2^{n/2} / \sqrt{B_{w/2}(n)}$ (که الگوریتم مبتنی بر کد پوششی را محدود می‌کند) بهتر است.

τ بهینه در عمل. برای n و m داده شده، تخمین

بهتری از τ بهینه می‌توان پیدا کرد. از حد بالای (۲۰) که حد بالای پیچیدگی زیر را می‌دهد، استفاده شده است:

$$C \leq C_{small} + C_{lg} = \left(\sqrt{\frac{\pi}{2}} + 5 \sqrt{\frac{2^{\tau/B_w(\tau)}}{M}} \right) \cdot \sqrt{\frac{2^n}{B_w(\tau)}}, \quad (21)$$

برای پیدا کردن یک بد هسته خوب، این حد را برای تمام مقادیر τ محاسبه و از مقداری τ که پایین ترین حد را می‌دهد، استفاده کردند. در مقاله [۱۰] نمونه اعمال این حمله بر MD5 نشان داده است.

۷- نتایج

در این مقاله، حمله TMTD و روش‌های بهبود این حمله که تاکنون ارائه شده‌اند، معرفی و همچنین، الگوریتم عمومی جهت پیدا کردن نزدیک‌برخوردها معرفی شد، که هردو الگوریتم پیشین مبتنی بر کوتاه‌سازی و مبتنی بر کدهای پوششی را تعمیم می‌دهد. علی‌رغم کارهای پیشین، هدف این الگوریتم مطالعه TMTD بوده است و در عمل قابل پیاده‌سازی است. لورنت ثابت کرد که با درنظر گرفتن یک مقدار حافظه عملی، با تغییردادن پارامترها بهبودی در عملکرد این الگوریتم می‌توان مشاهده کرد. این الگوریتم از الگوریتم جستجو موافق برخورد اورشات ایده گرفته است، که با حافظه کم در زمان مناسبی کمتر از $i \sqrt{2^n}$ برخورد را می‌توان پیدا کرد.

۸- مراجع

- [1] Su, B. Wu.W. Dong. L, *Near-collisions on the reduced-round compression functions of Skein and BLAKE*, in *Cryptology and Network Security*. 2010, Springer. p. 124-139.

$$= \sqrt{\pi/2} \cdot \sqrt{2^{n-\tau} \cdot 2^\tau / B_w(\tau)} = C_{small} \sqrt{\pi/2} \cdot \frac{2^{n/2}}{\sqrt{B_w(\tau)}}, \quad (16)$$

وقتی که τ افزایش می‌یابد، این عبارت نیز افزایش پیدا می‌کند. با تعداد زیاد بیت برش‌یافته و تعداد زیاد برخوردها $M \gg 2^\tau \cdot B_w(\tau)$ پیچیدگی برابراست با:

$$C_{large} = \frac{5\sqrt{2^{n-\tau}/M} \cdot 2^\tau}{B_w(\tau)} = \frac{5 \cdot 2^{n/2+\tau/2}}{B_w(\tau)\sqrt{M}}, \quad (17)$$

با مطالعه تغییرات C_{large}

$$(\tau - 1) \leq C_{large}(\tau) C_{large} \quad (18)$$

$$\begin{aligned} \frac{C_{large}(\tau - 1)}{C_{large}(\tau)} &\leq 1 \\ \frac{B_w(\tau)}{B_w(\tau - 1)} &\leq \sqrt{2} \\ \frac{B_w(\tau - 1) + B_{w-1}(\tau - 1)}{B_w(\tau - 1)} &\leq \sqrt{2} \\ \frac{B_{w-1}(\tau - 1)}{B_w(\tau - 1)} &\leq \sqrt{2} - 1 \\ \frac{B_w(\tau - 1)}{B_{w-1}(\tau - 1)} &\geq \sqrt{2} + 1 \\ \frac{(\tau-1)_w + B_{w-1}(\tau - 1)}{B_{w-1}(\tau - 1)} &\geq \sqrt{2} + 1 \\ \frac{(\tau-1)_w}{B_{w-1}(\tau - 1)} &\geq \sqrt{2}, \end{aligned}$$

با استفاده از قضیه ۱. $(\tau-1)_w / B_{w-1}(\tau - 1) \geq \sqrt{2}$ هنگامی که $\tau \geq (\sqrt{2} + 2)w$ می‌دهد. توجه داشته باشید که این فرمول تنها زمانی که $M \ll 2^\tau / B_w(\tau)$ یعنی برای مقادیر τ و این فرض که $\tau \geq \sqrt{2} + 2)w$ است، صدق می‌کند. در این حوزه برای مقادیر مناسب پارامترها درست خواهد بود. بهویژه در $M > 2^{24}$ و $w < 48$ نیز درست است.

برای $M \approx 2^\tau / B_w(\tau)$, دو بیان تا رسیدن به مقدار ثابت کوچک برابر هستند. مشابه بخش ۴، در واقع پیچیدگی پیوسته است.

τ بهینه. زمانی که τ کوچک باشد، یعنی $\tau \ll M / 2^\tau B_w(\tau)$ پیچیدگی با τ کاهش می‌یابد؛ اما زمانی که τ بزرگ باشد، یعنی $M \gg 2^\tau / B_w(\tau)$ با τ افزایش می‌یابد. با انتخاب بهینه τ , رابطه زیر ایجاد می‌شود:

$$M \approx 2^\tau / B_w(\tau) \quad (19)$$



زهرا ذوالفاری تحصیلات خود را در مقطع کارشناسی ارشد مهندسی مخابرات گرایش رمز در سال ۱۳۹۵ در دانشگاه تربیت دبیر شهید رجایی به پایان رساند. زمینه پژوهشی مورد علاقه وی تحلیل و بررسی امنیتی توابع چکیده ساز و الگوریتم های رمز است.



نصر باقری، دانشیار دانشگاه تربیت دبیر شهید رجایی، کارشناسی خود را در دانشگاه مارندازن و دوره کارشناسی ارشد و دکترا را در دانشگاه علم و صنعت ایران در مهندسی الکترونیک به پایان رساند. مقالات متعددی در زمینه رمزشناسی توسعه ایشان، در مجلات و همایشهای ملی و بین‌المللی، ارائه شده است. در حال حاضر زمینه پژوهشی وی رمزگاری و امنیت اطلاعات است.

- [2] Jean, J. and P.-A. Fouque. *Practical Near-Collisions and Collisions on Round-Reduced ECHO-256 compression Function*. in *FSE*. 2011. Springer.
- [3] Leurent, G. and S.S. Thomsen. *Practical near-collisions on the compression function of BMW*. in *Fast Software Encryption*. 2011. Springer.
- [4] Lamberger, M. and V. Rijmen. *Optimal covering codes for finding near-collisions*. in *Selected Areas in Cryptography*. 2010. Springer.
- [5] Wagner, D. *A generalized birthday problem*. in *Annual International Cryptology Conference*. 2002. Springer.
- [6] Minder, L. and A. Sinclair, *The extended k-tree algorithm*. *Journal of cryptology*, 2012. **25**(2): p. 349-382.
- [7] Stoffelen, K. *Comparison of chain merge behaviour of TMTO methods*. 2013, BSc Ithesis, Radboud University of Netherlands.
- [8] Bernstein, D.J. *Better price-performance ratios for generalized birthday attacks*. in *Workshop Record of SHARCS*. 2007.
- [9] Nikolić, I. and Y. Sasaki. *Refinements of the k-tree Algorithm for the Generalized Birthday Problem*. in *International Conference on the Theory and Application of Cryptology and Information Security*. 2014. Springer.
- [10] Leurent, G. *Time-memory Trade-offs for Near-collisions*. in *Fast Software Encryption*. 2013. Springer.
- [11] Knuth, D.E., *Seminumerical Algorithms, volume 2 of The Art of Computer Programming*. Addison Wesley. Reading, MA, 1969.
- [12] Brent, R.P., *An improved Monte Carlo factorization algorithm*. *BIT Numerical Mathematics*, 1980. **20**(2): p. 176-184.
- [13] Quisquater, J.-J. and J.-P. Delescaille. *How easy is collision search. New results and applications to DES*. in *Advances in Cryptology—Crypto '89 Proceedings*. 1989 .Springer.
- [14] Nivasch, G., *Cycle detection using a stack*. *Information Processing Letters*, 2004. **90**(3): p. 135-140.
- [15].Van Oorschot, P.C. and M.J. Wiener, *Parallel collision search with cryptanalytic applications*. *Journal of cryptology*, 1999. **12**(1): p. 1-28.

